

# Metody Obliczeniowe w Nauce i Technice

## Metody całkowania równań różniczkowych zwyczajnych

Marian Bubak, Katarzyna Rycerz

Department of Computer Science  
AGH University of Science and Technology  
Krakow, Poland  
[kzajac@agh.edu.pl](mailto:kzajac@agh.edu.pl)  
[dice.cyfronet.pl](http://dice.cyfronet.pl)

### Contributors

Paweł Urban  
Jakub Ptak  
Kamil Doległo



# Outline

- 1 Wstęp
- 2 Metoda Eulera pierwszego rzędu
- 3 Metoda skokowa
- 4 Jawna metoda dwustopniowa (ulepszona Eulera)
- 5 Metoda niejawna drugiego rzędu
- 6 Metoda Rungego-Kutty
- 7 Metody Rungego-Kutty dla układów ODE
- 8 Literatura

# Model

$$\begin{cases} \frac{du}{dt} + f(u, t) = 0 & u = u(t) \\ \text{warunki początkowe: } & u(t^0) = u^0 \end{cases}$$

- $\frac{df}{du} > 0$  - równanie typu “rozpadu”
- $\frac{df}{du} < 0$  - równanie typu “wzrostu”
- $u$  zespolone - równanie typu “oscylacyjnego”  
gdy -  $u, f$  zespolone  $\Rightarrow$  para równań
- schematy całkowania po czasie  $\Rightarrow$  przejście do równań różnicowych

Przenosi się to na:

- układy równań różniczkowych zwyczajnych
- układy równań różniczkowych cząstkowych

# Model c.d.

**Równanie modelowe można scałkować na siatce czasowej:**

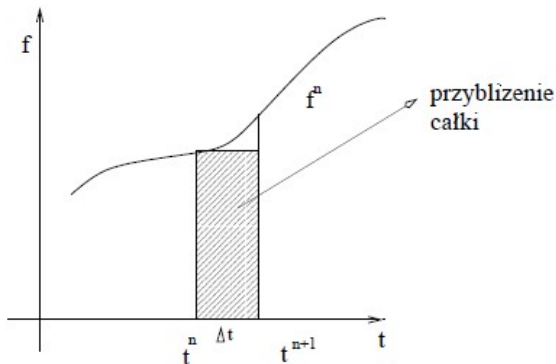
$$\Delta t = t^{n+1} - t^n$$

$$u^{n+1} = u^n - \underbrace{\int_{t^n}^{t^{n+1}} f(u, t) dt}$$

różne aproksymacje  $\Rightarrow$  metody całkowania

# Metoda Eulera pierwszego rzędu

$$\underline{f(u, t) = ?} \quad \text{dla} \quad t \in [t^n, t^{n+1}] \approx f(u^n, t^n)$$



# Cechy metody

## Algorytm:

$$u^{n+1} = u^n - f(u^n, t^n) \cdot \Delta t$$

## Cechy:

- jawna
- 1-go rzędu - błąd zmienia liniowo się ze względu na  $\Delta t$ :  
 $\varepsilon = O(\Delta t)$
- prosta
- efektywna

# Stabilność

w czasie  $t^n$  mamy  $u^n$  z błędem  $\varepsilon^n$

w czasie  $t^{n+1}$  mamy  $u^{n+1}$  z błędem  $\varepsilon^{n+1}$

$$\varepsilon^{n+1} = g \cdot \varepsilon^n \quad g - \text{współczynnik wzmocnienia błędu}$$

$$u^{n+1} + \varepsilon^{n+1} = u^n + \varepsilon^n - f(u^n + \varepsilon^n, t^n) \cdot \Delta t \quad (*)$$

zał.:  $\varepsilon^n$  - mały  $\Rightarrow$  rozwijamy w szereg Taylora, pomijamy człony nieliniowe:

$$f(u^n + \varepsilon^n, t^n) = f(u^n, t^n) + \left. \frac{\partial f}{\partial u} \right|_{u^n} \cdot \varepsilon^n$$

Po podst. do (\*):

$$u^{n+1} + \varepsilon^{n+1} = u^n + \varepsilon^n - \left( f(u^n, t^n) + \left. \frac{\partial f}{\partial u} \right|_{u^n} \cdot \varepsilon^n \right) \cdot \Delta t$$

$$\varepsilon^{n+1} = \varepsilon^n - \left. \frac{\partial f}{\partial u} \right|_n \cdot \Delta t \cdot \varepsilon^n$$

współczynnik wzmocnienia:  $g = \frac{\epsilon^{n+1}}{\epsilon^n} = 1 - \frac{\partial f}{\partial u} \Big|_n \cdot \Delta t$   
warunek stabilności:  $|g| \leq 1$   
warunek stabilności dla  $\frac{\partial f}{\partial u} > 0$

$$\frac{\partial f}{\partial u} \Big|_n \cdot \Delta t \leq 2 \quad \rightarrow \quad \Delta t \leq \frac{2}{\frac{\partial f}{\partial u} \Big|_n} \Rightarrow \text{krok}$$

(gdy  $\frac{\partial f}{\partial u} \Big|_n < 0$  - metoda niestabilna)

stabilność - fundamentalna własność metody różnicowej



# Przykład

$$\frac{du}{dt} + \frac{u}{\tau} = 0, \quad u(0) = 1$$

rozpad promieniotwórczy

- rozwiązanie otrzymane analitycznie:  $u = e^{-\frac{t}{\tau}}$

krok czasowy gwarantujący stabilność:

$$\Delta t \leq \frac{2}{\left| \frac{\partial f}{\partial u} \right|_n}$$

$$\left| \frac{\partial f}{\partial u} \right|_n = \frac{1}{\tau} \quad \Delta t \leq 2\tau$$

## Przykład 2 - równanie typu oscylacyjnego

oscylator harmoniczny:  $\frac{d^2x}{dt^2} + \omega^2 x = 0$

$\Rightarrow$  układ 2 równań (dla  $v = \frac{dx}{dt}$ ):

$$\begin{cases} \frac{dv}{dt} + \omega^2 x = 0 \\ \frac{dx}{dt} - v = 0 \end{cases} \quad | \cdot (-i\omega)$$

po dodaniu mamy:

$$\frac{dv}{dt} - i\omega \frac{dx}{dt} + \omega^2 x + i\omega v = 0$$

$$\frac{dv}{dt} - i\omega \frac{dx}{dt} + -i^2 \omega^2 x + i\omega v = 0$$

$$\frac{dv}{dt} - i\omega \frac{dx}{dt} + i\omega(v - i\omega x) = 0$$

## Przykład 2 c.d.

wprowadzenie  $\underline{u = v - i\omega x} \Rightarrow$  pojedyncze równanie 1-go rzędu:

$$\frac{du}{dt} + i\omega u = 0$$

współczynnik wzmocnienia:  $(f(u) = i\omega u)$

$$g = 1 - \left. \frac{\partial f}{\partial u} \right|_n \cdot \Delta t \Rightarrow g = 1 - i \cdot \omega \cdot \Delta t \quad \text{zespolony!}$$

$$|g|^2 = g \cdot g^* = 1 + \omega^2 \Delta t^2 \Rightarrow |g| > 1$$

Metoda Eulera jest niestabilna dla równań typu oscylacyjnego.

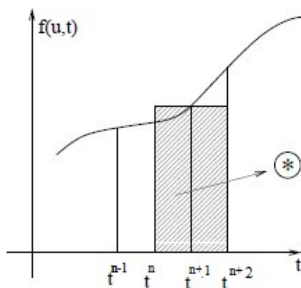
W zagadnieniach *nieliniowych*  $\frac{\partial f}{\partial u}$  jest funkcją  $u \Rightarrow$  należy na każdym etapie wybierać  $\Delta t$  spełniające warunki stabilności.

# Metoda skokowa

## Założenia

- całkujemy na kroku czasowym o podwójnej długości
- punkt czasowy w środku takiego kroku używamy dla obliczenia całki metodą prostokątów
- metoda wycentryowana w czasie  $\rightarrow$  dokładność drugiego rzędu  
 $\varepsilon = O(\Delta t^2)$

# Algorytm



## Algorytm:

$$\begin{aligned}
 u^{(n+1)} : &= u^{n-1} - f(u^n, t^n) \cdot 2 \cdot \Delta t \\
 u^{(n+2)} : &= u^n - \underbrace{f(u^{n+1}, t^{n+1}) \cdot 2 \cdot \Delta t}_*
 \end{aligned}$$

# Trudności

- ❶ znamy  $u^0 = u(0)$ , potrzebne  $u^1 = u(\Delta t)$ ; od  $u^1$  zależy całkowita dokładność
  - podprzedziały w pierwszym  $\Delta t$ , metoda Eulera,
  - rozwinięcie w szereg wyższych potęg (szereg Taylora),
- ❷ zagadnienie nieliniowe  $\Rightarrow$  zmienne  $\Delta t$     metoda przestaje być wycelowana w czasie

# Współczynnik wzmocnienia błędu

$$\varepsilon^{n+1} = \varepsilon^{n-1} - \left. \frac{\partial f}{\partial u} \right|_n \cdot 2 \cdot \Delta t \cdot \varepsilon^n \quad | : \varepsilon^{n-1}$$

$$\alpha = \left. \frac{\partial f}{\partial u} \right|_n \cdot \Delta t \quad g = \frac{\varepsilon^{n+1}}{\varepsilon^n} \approx \frac{\varepsilon^n}{\varepsilon^{n-1}} \quad g^2 = \frac{\varepsilon^{n+1}}{\varepsilon^n} \cdot \frac{\varepsilon^n}{\varepsilon^{n-1}}$$

$$g^2 = 1 - \alpha \cdot 2g \quad \underline{g = -\alpha \pm \sqrt{\alpha^2 + 1}}$$

Mamy dwa pierwiastki.

jeśli  $\alpha$  - rzeczywiste  $\Rightarrow |g| > 1 \rightarrow$  niestabilna

Jeśli  $\alpha$  urojone i równe  $i\beta$ , gdzie  $\beta \leq 1$ , rzeczywiste

$$\Rightarrow g = -i\beta \pm \sqrt{1 - \beta^2} \quad |g|^2 = g \cdot g^* = 1$$

np. dla równania oscylatora:  $\frac{du}{dt} + i\omega u = 0 \rightarrow \beta = \omega \Delta t$

warunek  $\beta \leq 1 \rightarrow \Delta t \leq \frac{1}{\omega}$

# Ulepszona metoda Eulera - metoda jawna

1. wyliczenie zmiennej  $u$  dla pośredniego  $t^{n+\frac{1}{2}}$  metodą Eulera:

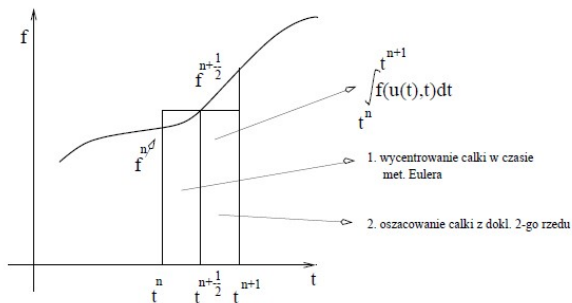
$$u^{n+\frac{1}{2}} = u^n - f(u^n, t^n) \frac{\Delta t}{2} \quad (\text{wzór pomocniczy})$$

2. Wyliczenie właściwej wartości  $u_{n+1}$  na podstawie  $u_{n+\frac{1}{2}}$  z poprzedniego kroku:

$$u^{n+1} = u^{n+\frac{1}{2}} - f(u^{n+\frac{1}{2}}, t^{n+\frac{1}{2}}) \Delta t \quad (\text{wzór główny})$$

Metoda jawna - tzn w każdym kroku znamy wszystkie wartości do wyznaczania kolejnego kroku wprost.





$u^{n+\frac{1}{2}}$  - pomocnicze, nie zachowywane powyżej  $t^{n+1}$

# Stabilność

$$\varepsilon^{n+1} = \varepsilon^n - \left. \frac{\partial f}{\partial u} \right|_n \Delta t \left[ 1 - \left. \frac{\partial f}{\partial u} \right|_n \frac{\Delta t}{2} \right] \varepsilon^n$$

$$\alpha = \left. \frac{\partial f}{\partial u} \right|_n \Delta t$$

$$\varepsilon^{n+1} = \varepsilon^n - \alpha \left[ 1 - \frac{\alpha}{2} \right] \varepsilon^n$$

$$g = 1 - \alpha + \frac{1}{2}\alpha^2$$

- stabilna dla  $\alpha$  rzeczywistego, gdy  $\Delta t \leq \frac{2}{\left. \frac{\partial f}{\partial u} \right|_n}$
- może być niestabilna dla  $\alpha$  urojonego

# Metoda niejawna drugiego rzędu

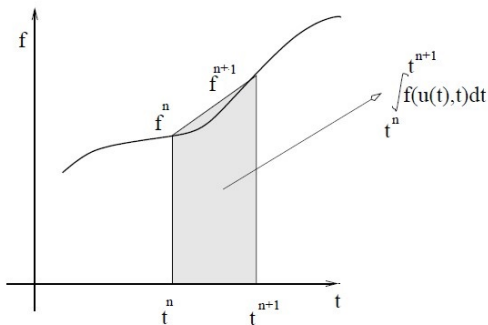
$$u^{n+1} = u^n - [f(u^n, t^n) + f(u^{n+1}, t^{n+1})] \cdot \frac{\Delta t}{2}$$

- $u^{n+1}$  - uwikłane (jako nieznany argument funkcji  $f(u^{n+1}, t^{n+1})$ ), której wartości potrzebujemy, aby go wyliczyć
- gdy  $f$  bardziej skomplikowana to w każdym kroku czasowym może wymagać rozwiązania równania
- metoda ma dokładność 2-go rzędu

# Stabilność

$$g = 1 - \left. \frac{\partial f}{\partial u} \right|_n \cdot \frac{\Delta t}{2} - \left. \frac{\partial f}{\partial u} \right|_{n+1} \cdot \frac{\Delta t}{2} g$$

$$g = \frac{1 - \left. \frac{\partial f}{\partial u} \right|_n \cdot \frac{\Delta t}{2}}{1 + \left. \frac{\partial f}{\partial u} \right|_{n+1} \cdot \frac{\Delta t}{2}}$$



# Stabilność c.d.

- równanie rozpadu:  $\frac{\partial f}{\partial u} > 0$ ,  $|g| < 1$  (zawsze)
- równanie oscylacyjne  $\frac{\partial f}{\partial u}$  - urojone,  $|g| = 1$

W obu przypadkach metoda stabilna niezależnie od wyboru kroku

- bezwzględnie stabilna, ważne w zagadnieniach nieliniowych
- cena: konieczność rozwiązywania równania algebraicznego na  $u^{n+1}$  lub stosowania wzoru iteracyjnego.

# Metoda Rungego-Kutty dla pojedynczego równania

$$\frac{du(t)}{dt} = f(t, u) \quad t \in [a, b] \quad u_0 = u(t_0)$$

Rozwiązanie  $u(t)$  wyznaczamy w punktach

$$t_i = t_0 + i \cdot h \quad h = \frac{b - a}{n}, \quad i = 0, 1, \dots, n$$

W metodach jednokrokowych jawnych rozwiązanie:

$$u_{i+1} = u_i + h \cdot F(t_i, u_i, h) \quad i = 0, 1, \dots, n-1 \quad (*)$$

F - zadana funkcja

# Metody R-K - szczególny przypadek (\*)

$$u(t_{i+1}) = u(t_i) + h \cdot u'(t_i) + \frac{h^2}{2} \cdot u''(t_i) + \dots + \frac{h^q}{q!} \cdot u^{(q)}(t_i) + R$$

dla  $i = 0$  :

$$u_1 = u(t_0) + h \cdot \underbrace{u'}_{!!}(t_0) + \frac{h^2}{2} \cdot \underbrace{u''}_{!!}(t_0) + \dots + \frac{h^q}{q!} \cdot \underbrace{u^{(q)}}_{!!}(t_0) \quad (**)$$

!! - należy wyznaczyć

$u'(t_0) = f(t_0, u_0)$
$u''(t_0) = \frac{\partial f}{\partial t} _0 + \frac{\partial f}{\partial u} _0 \cdot u'_0 = \frac{\partial f}{\partial t} _0 + \frac{\partial f}{\partial u} _0 \cdot f(t_0, u_0)$ (pochodna zupełna)
itd...
$u'(t_0)$ - prosto, wyższe - uciążliwe obliczenia!

Równanie (\*\*) można zapisać jako:

$$\begin{aligned} u_1 &= u_0 + h \cdot \left[ u'(t_0) + \frac{h}{2} u''(t_0) + \dots + \frac{h^{q-1}}{q!} u^{(q)}(t_0) \right] = \\ &= u_0 + h \cdot \underbrace{\left[ f(t_0, u_0) + \frac{h}{2} \cdot f^{(1)}(t_0, u_0) + \dots + \frac{h^{q-1}}{q!} f^{(q-1)}(t_0, u_0) \right]}_{F_T} \end{aligned}$$

gdzie (pochodna zupełna):

$$f^{(s)}(t_0, u_0) = \left. \frac{d^s}{dt^s} f(t, u(t)) \right|_{t=t_0, u(t)=u_0} \quad s = 1, 2, \dots, q-1$$

### Idea metod Rungego-Kutty

Ideą metod jest dobranie funkcji  $F$  (wzór \*):

- bez wyznaczania pochodnych  $f^{(s)}(t_0, u_0)$
- tak, by jak najlepiej przybliżyła funkcję  $F_T$



# R-punktowa metoda Rungego-Kutty

$$(***) \begin{cases} u_{i+1} = u_i + hF(t_i, u_i, h), & i = 0, 1, 2, \dots, n-1 \\ F(t, u, h) = c_1 k_1(t, u, h) + c_2 k_2(t, u, h) + \dots + c_r k_r(t, u, h) \\ k_1(t, u, h) = f(t, u) \\ k_j(t, u, h) = f(t + ha_j, u + h \sum_{s=1}^{j-1} b_{js} k_s(t, u, h)), & j = 2, \dots, r \\ a_j = \sum_{s=1}^{j-1} b_{js} \end{cases}$$

$a_j, b_{js}, c_k$  - stałe rzeczywiste, dobrane tak, aby:

$$\phi(h) = F(t, u, h) - F_T(t, u, h)$$

zawierała jedynie potęgi  $h$  możliwie wysokiego rzędu.

Dla  $r = 3$  wzory (\*\*\*) mają postać:

$$\begin{aligned}
 F(t, u, h) &= c_1 \cdot k_1 + c_2 \cdot k_2 + c_3 \cdot k_3 \\
 k_1 &= f(t, u) \\
 k_2 &= f(t + h \cdot a_2, u + h \cdot b_{21} \cdot k_1) = \\
 &= f(t + a_2 \cdot h, u + h \cdot a_2 \cdot k_1) \\
 k_3 &= f(t + a_3 \cdot h, u + h \cdot (b_{31} \cdot k_1 + b_{32} \cdot k_2)) = \\
 &= f(t + a_3 \cdot h, u + h \cdot (a_3 - b_{32}) \cdot k_1 + h \cdot b_{32} \cdot k_2)
 \end{aligned}$$

Potrzebna nam będzie pochodna zupełna

$$f^{(1)}(t, u) = \frac{\partial f}{\partial t} + \frac{\partial f}{\partial u} \cdot \frac{\partial u}{\partial t} = \frac{\partial f}{\partial t} + \frac{\partial f}{\partial u} \cdot f(t, u)$$

Niech (dla uproszczenia):

$$\begin{aligned}
 \alpha &= \frac{\partial f}{\partial t} + f \frac{\partial f}{\partial u} \\
 \beta &= \frac{\partial^2 f}{\partial t^2} + 2f \frac{\partial^2 f}{\partial t \partial u} + f^2 \frac{\partial^2 f}{\partial u^2} \quad f = f(t, u)
 \end{aligned}$$

$k_2, k_3$  rozwijamy w szereg Taylora wokół  $(t, u)$ :

$$k_2 =$$

$$f(t, u) + ha_2 \left( \frac{\partial f}{\partial t} + k_1 \frac{\partial f}{\partial u} \right) + \frac{1}{2} h^2 a_2^2 \left( \frac{\partial^2 f}{\partial t^2} + 2k_1 \frac{\partial^2 f}{\partial t \partial u} + k_1^2 \frac{\partial^2 f}{\partial u^2} \right) + O(h^3)$$

$$k_2 = f(t, u) + ha_2 \alpha + \frac{1}{2} h^2 a_2^2 \beta + O(h^3)$$

$$k_3 = f(t, u) + ha_3 \alpha + h^2 (a_2 \cdot b_{32} \cdot \alpha \frac{\partial f}{\partial u} + \frac{1}{2} a_3^2 \beta) + O(h^3)$$

stąd:

$$\begin{aligned} \varphi(h) &= F(t, u, h) - F_T(t, u, h) = \\ &= (c_1 + c_2 + c_3 - 1) \cdot f(t, u) + h \cdot \alpha \cdot (c_2 \cdot a_2 + c_3 \cdot a_3 - \frac{1}{2}) + \\ &+ h^2 \cdot [c_3 a_3 b_{32} \alpha \frac{\partial f}{\partial u} + \frac{1}{2} (c_2 \cdot a_2^2 + c_3 a_3^2) - \frac{1}{6} (\alpha \cdot \frac{\partial f}{\partial u} + \beta)] + O(h^3) \end{aligned}$$

### Uwaga!

Należy dobrać  $c_1, c_2, c_3, a_2, a_3, b_{32}$  w taki sposób, aby w  $\varphi(h)$  były tylko potęgi możliwie wysokiego stopnia.

$$\mathbf{r} = \mathbf{1}$$

$$c_2 = c_3 = a_2 = a_3 = b_{32} = 0$$

$$\text{Przyjmuje się } c_1 = 1 \quad \Rightarrow \quad \begin{aligned} \varphi(h) &= O(h) \\ F(t, u, h) &= f(t, u) \end{aligned}$$

$$u_{i+1} = u_i + h \cdot f(t_i, u_i), \quad i = 0, 1, \dots, n-1$$

## Wniosek

Jest to metoda Eulera.

$$r = 2$$

$$c_3 = b_{32} = 0$$

$$\begin{cases} c_1 + c_2 - 1 = 0 \\ c_2 \cdot a_2 - \frac{1}{2} = 0 \end{cases} \Rightarrow \varphi(h) = O(h^2)$$

$$\textcircled{1} \quad c_1 = 0, c_2 = 1, a_2 = \frac{1}{2} \Rightarrow F(t, u, h) = f\left(t + \frac{1}{2}h, u + \frac{1}{2}h \cdot f(t, u)\right) \rightarrow \text{zmodyfikowana metoda Eulera}$$

$$\textcircled{2} \quad c_1 = \frac{1}{2}, c_2 = \frac{1}{2}, a_2 = 1 \Rightarrow F(t, u, h) = \frac{1}{2} \cdot [f(t, u) + f(t + h, u + h \cdot f(t, u))]$$

$$r = 3$$

Dobieramy  $c_1, c_2, c_3, a_2, a_3, b_{32}$ , tak, aby w  $\varphi(h)$  współczynniki przy  $h^0, h, h^2$  - były zerowe:

$$\begin{cases} c_1 + c_2 + c_3 = 1 \\ c_2 a_2 + c_3 a_3 = \frac{1}{2} \\ c_3 a_2^2 + c_3 a_3^2 = \frac{1}{3} \\ c_3 a_2 b_{32} = \frac{1}{6} \end{cases} \rightarrow \begin{array}{l} 4 \text{ równania, 6 niewiadomych} \\ \Rightarrow \\ \text{Trójpunktowa metoda Rungego-Kutty} \\ c_1 = \frac{1}{6}, \quad c_2 = \frac{2}{3}, \quad c_3 = \frac{1}{6} \\ a_2 = \frac{1}{2}, \quad a_3 = 1, \quad b_{32} = 2 \end{array}$$

# Praktyczne znaczenie - 4-punktowe wersje metody Rungego-Kutty

a)

$$\begin{aligned}u_{i+1} &= u_i + \frac{h}{6}(k_1 + 2k_2 + 2k_3 + k_4), & i = 0, 1, 2, \dots, n-1 \\k_1 &= f(t_i, u_i), \\k_2 &= f(t_i + \frac{1}{2}h, u_i + \frac{1}{2}hk_1), \\k_3 &= f(t_i + \frac{1}{2}h, u_i + \frac{1}{2}hk_2), \\k_4 &= f(t_i + h, u_i + hk_3)\end{aligned}$$

b)

$$\begin{aligned}u_{i+1} &= u_i + \frac{h}{8}(k_1 + 3k_2 + 3k_3 + k_4), & i = 0, 1, 2, \dots, n-1 \\k_1 &= f(t_i, u_i), \\k_2 &= f(t_i + \frac{1}{3}h, u_i + \frac{1}{3}hk_1), \\k_3 &= f(t_i + \frac{2}{3}h, u_i - \frac{1}{3}hk_1 + hk_2), \\k_4 &= f(t_i + h, u_i + hk_1 - hk_2 + hk_3)\end{aligned}$$

Dla obu:  $\varphi_4(h) = O(h^4)$

## Wada metod R-4

**Wada:** np. dla  $r = 4$ , na etapie 1 kroku obliczeń wartość  $f$  jest wyznaczana 4 razy i nie będą to wartości użyteczne na dalszych etapach.



# Metody R-K dla układów ODE

$$\left\{ \begin{array}{l} \vec{u}(t) = (u_1(t), u_2(t), \dots, u_m(t)) \\ \vec{f}(t, \vec{u}) = (f_1(t, \vec{u}), f_2(t, \vec{u}), \dots, f_m(t, \vec{u})) \\ \vec{u}_0 \end{array} \right.$$

układ równań:

$$\left\{ \begin{array}{l} \frac{d}{dt} \vec{u}(t) = \vec{f}(t, \vec{u}(t)), \quad t \in [a, b] \\ \text{z warunkiem początkowym } \vec{u}(t_0) = \vec{u}_0 \end{array} \right.$$

## Postać r-punktowej metody R-K

$$\vec{u}_{i+1} = \vec{u}_i + h \cdot \vec{F}(t_i, \vec{u}_i, h)$$

gdzie:

$$\begin{aligned}\vec{F}(t, \vec{u}, h) &= c_1 \cdot k_1(t, \vec{u}, h) + c_2 \cdot k_2(t_1, \vec{u}, h) + \dots + c_r k_r(t, \vec{u}, h) \\ \vec{k}_1(t, \vec{u}, h) &= f(t, \vec{u}), \\ \vec{k}_j(t, \vec{u}, h) &= \vec{f}(t + h \cdot a_{j1} \vec{u} + h \cdot \sum_{s=1}^{j-1} b_{js} \vec{k}_s(t, \vec{u}, h)), \quad j = 2, 3, \dots, r\end{aligned}$$

$$a_j = \sum_{s=1}^{j-1} b_{js}, \quad j = 2, 3, \dots, r$$

$a_j, b_{js}, c_r$  - stałe rzeczywiste, wartości takie same jak dla pojedynczego równania.

# Literatura

Zastosowanie metod do symulacji układów ciał niebieskich:

<http://www.artcompsci.org/>

[http://www.artcompsci.org/vol\\_1/v1\\_web/](http://www.artcompsci.org/vol_1/v1_web/)